

中華學院校學生正員額表

1. まえがき

】；7月1日技術事典（狩野春一監修）によれば、財務能力は次のとおり定義される。

“されつ試験体や構造物部材においては自由収縮が拘束されるとやがてされつに至る。拘束と拘束された部材には自由収縮量に見合った応力を発生している。このように収縮現象に基づく応力を拘束応力と呼ぶ。”

取縮はコンクリート体内の温度や湿度等の変化によって具現する。筆者らはこのうち乾燥にともなう收縮とそれまでの收縮応力の解析に努めてきた。この場合、問題となるのは解析モデルの選定であり、正と云ふ望めず拘束された型や舗装路盤等のように完全拘束に近いモデルの場合は解析が比較的容易であるが、試験体が外的非拘束の場合はそれほど単純には解析できない。とくに、この非拘束を試験体が発生する乾燥收縮応力を全く実験的に解析した例はほとんど見当たらぬ。実験的に求めらるべ難い因子を理論的に推定し他の因子を実験的に求めたり、あるいは全く理論によるものばれりの例しか存在しない。したがって、この現象に関して導かれているいくつもの理論は空説性に富んでいても過言でないと考えられる。本文の目的は乾燥收縮応力を実験的に求めた筆者らの実験結果⁽¹⁾とともに、過去に提唱されたる理論の妥当性を検討し、より適当な理論式を導びくことの基礎資料となることにある。

2. 既往の理論における生れに対する定性的検討

図-1のように外的には筋肉拘束を施さない一面(右側)乾燥のコンクリート梁を解析モデルとする。このように試験体において乾燥吸縮応力はどのように過程で発生するか。乾燥が一方向であるため乾燥過程で水分の流れ方向に含水量の勾配が形成され、それにともないコンクリート内部の各要素は固有の収縮ひずみをもつ。ところが、コンクリートは連続体であるため内部の各要素は互いに拘束し合いそれが他の固有の収縮ひずみを任意に表現することはできない。そのため、各要素の互いの拘束に応じ収縮応力が発生することになる。したがって、この収縮応力を解析するには図-2に示した手順を要することになる。以下、図に記した順序に従い、各段階について得られた結果論を述べ、それに対する若干の考察を加えてみる。

(1) 含水量分布

エントリートの転換は一概に振動過程として取り扱われることが多い。現象がいわゆる Fick 型であれば、本モデルの場合の振動方程式は次式のように表され
る。

$$\frac{\partial \beta}{\partial t} = k \frac{\partial^2 \beta}{\partial y^2}, \quad \beta: \text{温气浓度}, \quad k: \text{扩散系数} \quad (1)$$

抗前進酶之抑制作用之研究
朱人傑教授撰寫

図-1 解析モデル

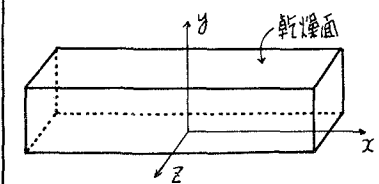
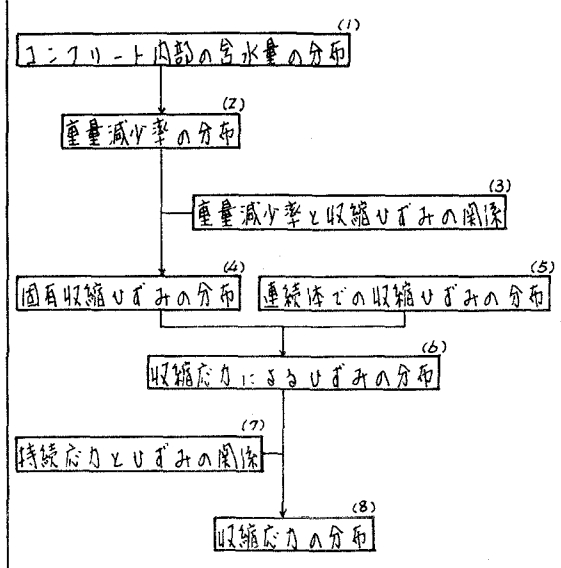


図-2 収縮応力解析の手順



Fick の第一法則によって求められる一般的である。

$$F = -k \frac{\partial g}{\partial y}, \quad F: \text{ある断面の单位面積を单位時間に通る拡散流量の量}$$

(2)

このようにも拡散係数を求めた式はいくつが掲載されており、その例として次式がある⁽²⁾。

$$k = \frac{0.049 \times t^{1/2}}{t^{1/2}} \quad \text{あるいは} \quad k = 1.85 \left(\frac{1}{C_0} \right)^{1.85} \int_0^{\infty} (C_0 - C)^{0.85} D dC$$

(3)

拡散係数を一定として場合の式(1)の解法は齊次分離法および差分法が一般的である。初期条件を $(g)_{t=0} = g_0$ 、境界条件を $(g)_{y=\pm a} = 0$ とする。それぞれの解法は次のようにある。

$$\text{齊次分離法: } g = \frac{4g_0}{\pi} \sum_{n=1}^{\infty} \left[(-1)^{n+1} \frac{1}{n+1} \exp \left\{ -\frac{(2n-1)^2 \pi^2 k t}{4a^2} \right\} \cos \frac{(2n-1)\pi y}{2a} \right]$$

(4)

$$\text{差分法: } g_{i,j+1} = \frac{k}{h} (g_{i-1,j} + g_{i+1,j}) + \left(1 - \frac{ZCD}{h^2} \right) g_{i,j} = \frac{1}{2} (g_{i-1,j} + g_{i+1,j})$$

(5)

筆者らは普通および乾燥度コントロールを对象とし、独自の方法を用いて内部の含水量分布を実験的に求め、上式を用いて理論との適合性を検討した⁽³⁾。その結果、両者の相関は必ずしも良好とは言えず、とくに曲線の形が異なることは本質的と思われ、上式をコントロール中の乾燥過程を表示する理論式として通用するには疑問を抱かざるを得なかった。この点を解決するには深さの方向に拡散係数を k の函数としたり、あるいは境界条件で Newton の副則の法則を相似させなどの検討が必要と思われる。

$$\frac{\partial g}{\partial t} = \frac{\partial}{\partial y} (k \frac{\partial g}{\partial y})$$

(6)

(2) 重量減少率の分布

含水量の分布を知ることでされば、各位置での乾燥前の含水量との差、すなわち含水量の減少が求まり、それをコントロールとしての重量減少率に換算すればこの項は理論的に容易に求まる。

(3) 重量減少率と収縮ひずみの関係

コントロール中の水分の存在形態が複雑であり、そのため乾燥過程における両者の関係はうなづき難い。この関係を理論的に表示するのは難しく、既往の研究は見当らない。したがって、現状ではこの関係は実験的に求めざるを得ないと考えられる。

(4) 固有収縮ひずみの分布

前項までの諸因子が既知であればこの固有ひずみの分布は容易に求まる。この方法とは別途に Pickett⁽⁴⁾ は固有収縮ひずみと拡散する V との "substance" と考え、次式によて提えたとした。初期条件を $(S)_{t=0} = S_0$ 、境界条件を $y = 0$ で $\partial S / \partial y = 0$, $y = b$ で $\partial S / \partial y = f / R (S_0 - S)$ とすれば拡散方程式は

$$\frac{\partial^2 S}{\partial y^2} = \frac{\partial S}{\partial t} \quad (7) \quad \text{その解は} \quad S = S_0 - \sum A_n \exp \left(-\frac{k t}{b^2} \beta_n^2 \right) \cos \beta_n \frac{y}{b}$$

(8)

しかし、この式の誘導に際しては多くの仮定を立てており、結果の信頼性には疑問が残る。

(5) 連続法での収縮ひずみの分布

この項は実験的に求めたのが容易である。また弾性理論から上記のふれ跡則があれば次のように求まる。

$$\text{連続法でのひずみ: } e = (b y / b - 1) / b \int_0^b S dy + (b - 12 y / b) / b^2 \int_0^b S y dy$$

(9)

(6) 収縮应力によるひずみ分布

前項までの諸因子が分れば收縮应力によるひずみの分布とは $\varepsilon = S - e$ (10) となる。

このひずみを应力に換算するには $\sigma = E \varepsilon$ の関係を用めねばならない。

以上、今までの本課題に対する定性的説明にとどまつたが、その量的検討は議論時の参考の予定である。

(参考文献) (1)藤原・猪子・飯泉, 工学論文第39回年譲, (2) Crank, J., Mathematics of Diffusion, Oxford

(3)藤原・飯泉, 昭和41年度工芸学会東北支部, (4) Pickett, G., Journal of ACI V.7, No.3